

А. С. Костинский

Очаг землетрясения как возбудимая среда: теоретические сейсмограммы простейшей оптимальной модели

(Представлено академиком НАН Украины В. И. Старостенко)

У рамках підходу до описання осередку землетрусу з позицій механіки збудливих середовищ досліджується отримана автором як результат схеми оптимального конструювання обмежена в часі функція стрибка зсуву. Для відповідної “квазидинамічної” моделі будуються “наведені” теоретичні сейсмограми, аналізується характер залежності від параметрів моделі.

В пространстве “квазидинамических” моделей очага [1–3] выражение для смещения в дальней зоне

$$\begin{aligned}
 U_i(\vec{r}, t) = & \frac{\gamma_i \gamma_p \gamma_q \nu_k}{4\pi \rho \alpha^3} \iint_{\Sigma} \frac{c_{jkpq}}{|\vec{\xi} - \vec{r}|} \frac{\partial}{\partial t} \left[U_j \left(\vec{\xi}, t - \frac{|\vec{\xi} - \vec{r}|}{\alpha} \right) \right] d\Sigma(\xi) + \\
 & + \frac{(\delta_{ip} - \gamma_i \gamma_p) \gamma_q \nu_k}{4\pi \rho \beta^3} \iint_{\Sigma} \frac{c_{jkpq}}{|\vec{\xi} - \vec{r}|} \frac{\partial}{\partial t} \left[U_j \left(\vec{\xi}, t - \frac{|\vec{\xi} - \vec{r}|}{\beta} \right) \right] d\Sigma(\xi)
 \end{aligned} \quad (1)$$

есть линейный оператор, действующий на функцию $[U_j(\dots)]$, и, поскольку размеры площадки малы, можно полагать, что

$$\iint_{\Sigma} (\dots) \frac{\partial}{\partial t} [\mathbf{U}(\dots)] d\Sigma = \iint_{\Sigma} (\dots) \left(\overline{\frac{\partial}{\partial t} \mathbf{n}(t)} \cdot \|\mathbf{U}(\dots)\| + \overline{\mathbf{n}(t)} \cdot \frac{\partial}{\partial t} \|\mathbf{U}(\dots)\| \right) d\Sigma,$$

где единичный вектор направления $\mathbf{n}(t)$ и его производная по времени вычисляются в некоторой средней точке площадки. Характеристика системы при этих предположениях, следовательно, есть векторное поле

$$\vec{\Theta}(\vec{\xi}, t) = \overline{\frac{\partial}{\partial t} \mathbf{n}(t)} \cdot \|\mathbf{U}(\vec{\xi}, t)\| + \overline{\mathbf{n}(t)} \cdot \frac{\partial}{\partial t} \|\mathbf{U}(\vec{\xi}, t)\|, \quad \vec{\xi} \in \Sigma,$$

и для логики традиционного кинематического конструирования это была отправная точка, а путь определялся уверенностью, что для $\vec{\Theta}(\dots)$ можно найти “земной” математический образ. Отсюда плоскость разрыва, распространяющаяся трещина сдвига и “нефизическое” решение самоподобной задачи [4]

$$\overline{\frac{\partial}{\partial t} \mathbf{n}(t)} = 0, \quad \overline{\mathbf{n}(t)} = \overrightarrow{\text{const}}(t), \quad (2)$$

$$\overline{\mathbf{n}(t)} \cdot \vec{\Theta} \equiv \Delta U^s(\rho, t) = K v \sqrt{t^2 - \left(\frac{\rho}{v}\right)^2} \cdot H\left(t - \frac{\rho}{v}\right) \cdot \{1 - H(\rho - \rho_0)\}, \quad K = \text{const}, \quad (3)$$

бесконечно возрастающее со временем. Тупик хаотических попыток “усовершенствовать” зависимость (3) можно преодолеть, если некоторая физическая конструкция, определенная с максимальной степенью абстракции, займет место “бестелесного” скачка смещения на разрыве как модели. Требуется, в общем, только способность тонкого слоя вещества генерировать и распространять возбуждение, т. е. состояние, дополнительное по отношению к основному состоянию. Это взгляд на явление как на эволюцию возбудимой среды [5], и, согласившись столь радикально изменить язык описания процесса в очаге, мы получаем дополнительные “степени свободы” конструирования, позволяющие оптимальным образом перейти от (3) к решению, более физически приемлемому, ограниченному во времени [6]:

$$\begin{aligned} \overline{\mathbf{n}(t)} \cdot \vec{\Theta} &\equiv \Delta U^g(\rho, t) = \\ &= K v T_c \arccos \left(\frac{\operatorname{ch} \left(\frac{\rho}{v T_c} \right)}{\operatorname{ch} \left(\frac{t}{T_c} \right)} \right) \cdot H \left(t - \frac{\rho}{v} \right) \cdot \{1 - H(\rho - \rho_0)\}, \quad K = \text{const.} \end{aligned} \quad (4)$$

Подставим выражение (4) в (1). Принимая предположения (2) и переходя к приближению дальней зоны однородной, изотропной среды, получим, что форма импульса смещения как в P -, так и в S -волне описывается интегралом:

$$\Omega_c(\vec{r}_S, t) = 2K v \rho_0^2 \frac{T_c}{\tau} \frac{\partial}{\partial \left(\frac{t'}{\tau} \right)} \iint_{C_+} dx dy \arccos \left(\frac{\operatorname{ch} \frac{\tau}{T_c} r}{\operatorname{ch} \frac{\tau}{T_c} \left(\frac{t'}{\tau} + x\gamma \right)} \right) \cdot H \left(\frac{t'}{\tau} + x\gamma - r \right),$$

где x, y — безразмерные декартовы координаты, $r^2 = x^2 + y^2$, C_+ есть область, ограниченная верхней единичной полуокружностью и осью Ox . Разрыв зарождается в точке \vec{r}_0 , $t' = t - \tau_0$, $\tau_0 = |\vec{r}_S - \vec{r}_0|/c$ — время запаздывания системы, ρ_0 — радиус площадки, $\tau = \rho_0/v$, $\gamma = v/c \sin \vartheta$. Угол ϑ образован нормалью к площадке и направлением из центра площадки на точку наблюдения \vec{r}_S .

Функция Хевисайда H под знаком интеграла в Ω_c приводит к тому, что область интегрирования суживается до подобласти C_+ , точки которой удовлетворяют неравенству

$$r(x, y) < \frac{t'}{\tau} + x\gamma$$

(подобласть может совпадать с C_+). Когда параметры t'/τ , γ меняются, меняется и область интегрирования, следуя за положением ограничивающей кривой

$$r(x, y) = \frac{t'}{\tau} + x\gamma \quad (5)$$

по отношению к C_+ . Наглядно представить ситуацию проще, если перейти от переменных интегрирования x, y к переменным x, r , рассматривая x, r по-прежнему как декартовы координаты на плоскости. В результате граница области C_+ преобразуется в треугольник, образованный горизонтальной прямой $r = 1$ и биссектрисами координатных углов $r = \pm x$; обозначим область, ограниченную треугольником, как S_+ . Уравнение (5) в переменных x, r задает прямую

$$\text{П: } r = \frac{t'}{\tau} + x\gamma,$$

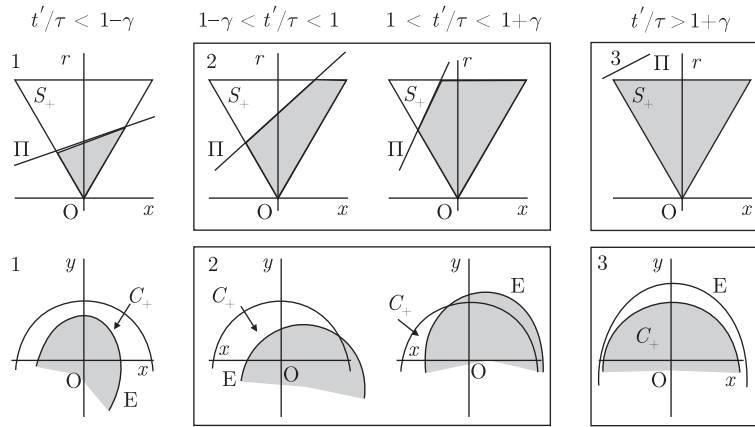


Рис. 1. Область интегрирования в Ω_c : возможные варианты

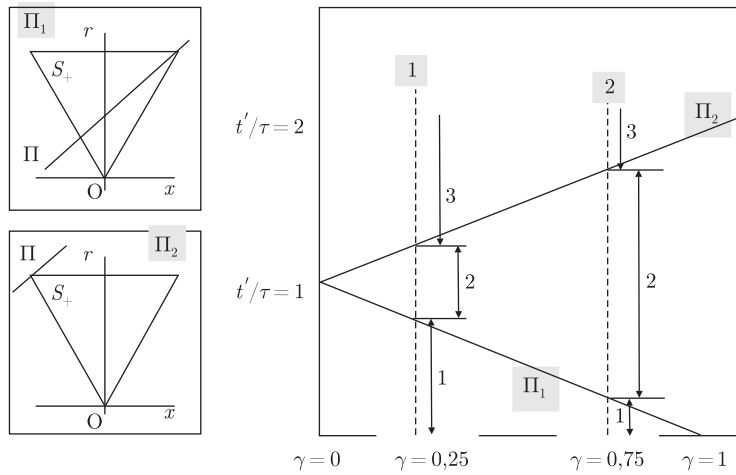


Рис. 2. “Характеристические” прямые на плоскости переменных t'/τ , γ . Затененные цифры 1, 2 над штриховыми линиями означают номер столбца “матрицы рисунков” рис. 3, цифры справа от штриховых линий соответствуют одному из вариантов положения прямой Π по отношению к области S_+

возможны три варианта положения Π по отношению к S_+ (рис. 1, верхняя строка символической “матрицы рисунков”). Интеграл в Ω_c с функцией H , таким образом, “распадается” на три интеграла (без H), непрерывно переходящие друг в друга при изменении параметров t'/τ , γ . Каждый интеграл берется по затененной части S_+ , каждому соответствует своя геометрия области интегрирования и своя функциональная зависимость $\Omega_c(t'/\tau, \gamma)$.

Преобразование к переменным x , r приводит к появлению под интегралом множителя $(r^2 - x^2)^{-1/2}$, сингулярного в точках биссектрис координатных углов $r = \pm x$. Это осложняет численный расчет теоретических сейсмограмм (интегралы в Ω_c не могут быть выражены через элементарные или специальные функции). Поэтому с точки зрения вычислений удобнее пользоваться декартовыми координатами x , y . Кривая (5) в переменных x , y есть эллипс, множество точек эллипса, для которых $y > 0$, есть кривая

$$E: y = \sqrt{\left(\frac{t'}{\tau} + x\gamma\right)^2 - x^2}.$$

Интегрирование в каждом из вариантов 1, 2, 3 выполняется по части S_+ , определяемой неравенством:

$$y < \sqrt{\left(\frac{t'}{\tau} + x\gamma\right)^2 - x^2}$$

(см. рис. 1, нижняя строка “матрицы рисунков”).

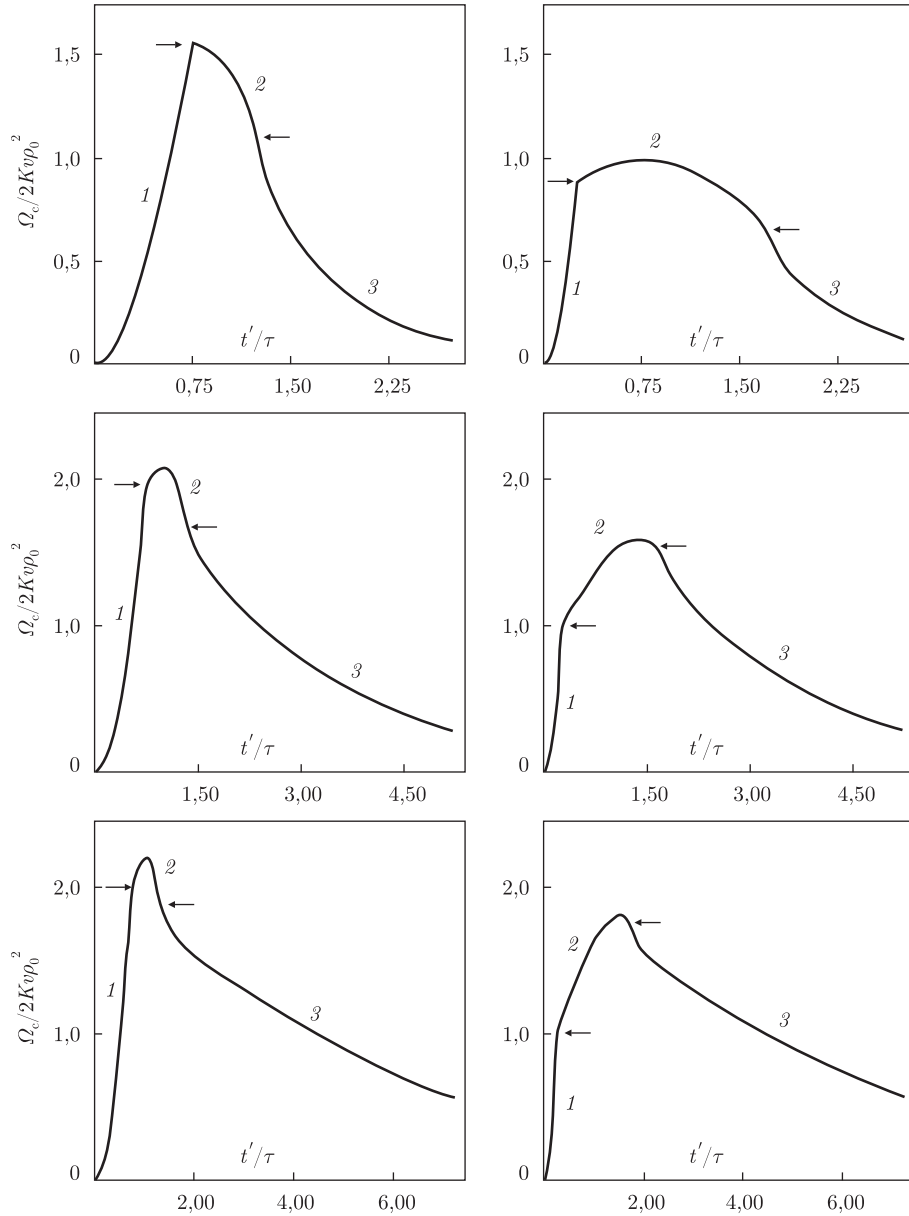


Рис. 3. Форма импульса смещения в дальней зоне для разных значений T_c/τ , γ . Номер столбца “матрицы рисунков” соответствует номеру сечения $\gamma = \text{const}$ рис. 2, стрелки отделяют участки графика с разной функциональной зависимостью от t'/τ . Каждая строка “матрицы рисунков” соответствует фиксированному значению T_c/τ , для первой строки $T_c/\tau = 0,725$, для второй $T_c/\tau = 2,125$, для третьей $T_c/\tau = 4,225$

Перейдем в пространство параметров, в котором переменные t'/τ , γ , T_c/τ играют роль декартовых координат. Построив координатную плоскость $T_c/\tau = \text{const}$, обнаружим на ней две “характеристические” прямые, их расположение показано на рис. 2. Прямая Π_1 соответствует соотношению параметров t'/τ , γ , при котором точка $x = 1$, $r = 1$ принадлежит прямой Π ($t'/\tau = 1 - \gamma$), прямая Π_2 — соотношению $t'/\tau = 1 + \gamma$, когда точка $x = -1$, $r = 1$ принадлежит Π . Теперь легко представить структуру теоретических сейсмограмм (“приведенных”, так как функция Ω_c описывает только форму импульса смещения). Каждая такая сейсмограмма (кусочно-гладкая) соответствует вертикальной координатной линии $\gamma = \text{const}$ (см. рис. 2). Участки гладкости (их три) — это участки неизменной функциональной зависимости от t'/τ при фиксированном значении γ . Форма теоретических сейсмограмм на каждом участке зависит от третьей условной координаты T_c/τ , но разбиение на участки от T_c/τ не зависит и определяется только величиной γ . Видно, как сдвигается вправо “эффektivная” максимальная продолжительность импульса по мере увеличения T_c/τ (рис. 3).

1. *Molnar P., Tucker B., Brune J.* Corner frequencies of P- and S-waves and models of earthquake sources // *Bull. Seism. Soc. Amer.* – 1973. – **63**. – P. 2091. – 2104.
2. *Sato T., Hirasawa T.* Body wave spectra from propagating shear crack // *J. Phys. Earth.* – 1973. – **21**. – P. 415–431.
3. *Dahlen F. A.* On the ratio of P-wave to S-wave corner frequencies for shallow earthquake sources // *Bull. Seism. Soc. Amer.* – 1974. – **64**. – P. 1159–1180.
4. *Burridge R., Willis J.* The self-similar problem of the expanding elliptical crack in an anisotropic solid // *Proc. Cambr. Philosoph. Soc.* – 1969. – **66**. – P. 443–468.
5. *Романовский Ю. М., Степанова Н. В., Чернавский Д. С.* Математическая биофизика. – Москва: Наука, 1984. – 304 с.
6. *Костинский А. С.* Очаг землетрясения как возбудимая среда: простейший пример оптимального конструирования // *Доп. НАН України.* – 2002. – № 12. – С. 87–94.

Отдел сейсмологии Института геофизики
им. С. И. Субботина НАН Украины, Симферополь

Поступило в редакцию 04.08.2008

A. S. Kostinsky

Earthquake focus as an excitable medium: theoretical seismograms of the simplest optimal model

In the context of an approach to the description of earthquake foci from the positions of excitable medium mechanics, a bounded-in-time displacement discontinuity function obtained by the author as a result of the optimal construction scheme is studied. For the corresponding “quasidynamic” model, “reduced” theoretical seismograms are plotted, and the pattern of the dependence on model parameters is analyzed.